

импульсов — возникновение отдельных очагов, в которых реакция про текает с повышенной скоростью по отношению к общей массе реагирующей смеси.

ЛИТЕРАТУРА

1. Бацанов С. С., Доронин Г. С., Копшевой В. П. и др. ФГВ, 1968, 4, 1, 108.
2. Шубитидзе С. О., Набатов С. С., Якушев В. В. и др. Химическая физика процессов горения и взрыва. Детонация и ударные волны.— Черноголовка, 1986.
3. Набатов С. С., Дремин А. Н., Шубитидзе С. О. и др. ФГВ, 1986, 22, 6, 130.
4. Бацанов С. С. Детонация. Критические явления. Физико-химические превращения в ударных волнах.— Черноголовка, 1978.
5. Физико-химические свойства полупроводниковых веществ: Справочник.— М.: Наука, 1979.

п. Черноголовка

Поступила в редакцию 25/IV 1987,
после доработки — 24/III 1988

УДК 546 : 621.762

Р. А. КАРИМЯН, С. К. ДОЛУХАНЯН

ИССЛЕДОВАНИЕ ПРОЦЕССА ГОРЕНИЯ

СИСТЕМЫ Ti + VH + N + H.

СИНТЕЗ СЛОЖНЫХ НИТРИДОВ И ГИДРИДОНИТРИДОВ

Цель настоящей работы — исследование закономерностей горения системы Ti + VH + N + H на основе Ti и V, выявление условий протекания реакций, которые возможны в этой сложной системе, и синтез сложных нитридов и гидридонитридов.

В [1] изучено горение титана в смеси азота и водорода и получены гидридонитриды титана с ГПУ-структурой. Показано также, что взаимодействие V с N или H, а также со смесью N + H в режиме горения очень слабое. Причина этого кроется, по-видимому, в дисперсности V. Фактически порошков V заводской поставки не существует, а дробление друз электролитического V приводит к сильному окислению, вследствие чего ухудшается его реакционная способность. Для избежания этого явления решено предварительно гидрировать исходный V, так как гидриды ванадия легко дробятся. Таким образом получены мелкодисперсные гидриды ванадия дисперсностью <50 мкм состава VH_{0,5–0,7}, которые в дальнейшем использовались в качестве исходного сырья при исследовании процессов горения системы Ti + VH + N + H.

В качестве исходных металлов использованы Ti марки ПТМ дисперсностью <63 мкм и V марки ВЭЛ-2. Эксперименты проведены по следующей методике. Шихту состава Ti_x(VH_y)_{1-x-y} ($0,1 \leq x \leq 0,9$, $0,5 \leq y \leq 0,7$) в виде таблеток с относительной плотностью $\Delta = 0,7 \div 0,8$ предварительно сжигали в атмосфере азота при различных давлениях p . Затем продукты горения в насыпном виде сжигали в атмосфере водорода при $p_{H_2} = 10 \div 20$ атм. Температуры измеряли термоэлектрическим методом с использованием вольфрам-ренниевых и хромель-алюмелевых термопар диаметром 100 и 200 мкм соответственно потенциометром КСП-4. При горении таблеток термопара устанавливалась у нижнего торца таблетки на глубине 3–5 мм, а у образцов, насыпанных в кварцевый стакан, спай термопары помещался на максимально возможную глубину сверху образца.

В табл. 1 представлены данные, полученные при горении исследуемой системы при $p_{N_2} = 10$ атм. Анализ результатов показал, что про-

Таблица 1

Состав исходной шихты	N, %	H, %	Фазовый состав продуктов горения
Ti _{0,9} (VH) _{0,1}	17,21	0,22	Ti _{0,9} V _{0,1} N _{0,72} , $a = 4,204 \text{ \AA}$
Ti _{0,8} (VH) _{0,2}	16,45	0,25	Ti _{0,8} V _{0,2} N _{0,68} , сл. TiN *, $a = 4,212 \text{ \AA}$
Ti _{0,7} (VH) _{0,3}	15,40	0,27	TiN, TiN *, сл. VN
Ti _{0,6} (VH) _{0,4}	15,49	0,23	TiN, VN
Ti _{0,5} (VH) _{0,5}	16,78	0,21	TiN, VN
Ti _{0,4} (VH) _{0,6}	16,98	0,11	TiN, VN
Ti _{0,3} (VH) _{0,7}	16,22	0,15	VN, TiN
Ti _{0,2} (VH) _{0,8}	16,88	0,18	VN, TiN
Ti _{0,1} (VH) _{0,9}	17,24	0,22	Ti _{0,1} V _{0,9} N _{0,75} , сл. TiN, $a = 4,123 \text{ \AA}$

П р и м е ч а н и е. Указан массовый состав N и H. Звездочкой обозначен твердый раствор.

дукты горения шихты составов $\text{Ti}_{0,9}(\text{VH}_y)_{0,1}$ и $\text{Ti}_{0,8}(\text{VH}_y)_{0,2}$ представляют собой однофазные сложные нитриды $\text{Ti}_{0,9}\text{V}_{0,1}\text{N}_{0,72}$ и $\text{Ti}_{0,8}\text{V}_{0,2}\text{N}_{0,68}$ с ГЦК-структурой. Ясно, что при горении указанных смесей процесс ведет реакция $\text{Ti} + \text{N}_2$, вовлекая гидрид ванадия в горение. При этом гидрид ванадия разлагается во фронте горения, что подтверждается видом температурных профилей (рис. 1), снятых в ходе эксперимента, и вступает в реакцию с азотом, образуя нитридную фазу. В первых двух составах (из табл. 1), богатых титаном, по-видимому, происходит взаимное растворение нитридов титана и ванадия. Поэтому параметры кристаллической решетки полученных однофазных нитридов по сравнению с параметрами кристаллических решеток бинарных составляющих сложной системы — нитридов титана и ванадия — несколько отличаются и в данном случае ближе к параметру TiN ($a = 4,24 \text{ \AA}$). С увеличением содержания гидрида ванадия в шихте, начиная с $\text{Ti}_{0,7}(\text{VH}_y)_{0,3}$, в конечных продуктах появляется фаза VN_x с ГЦК-структурой, доля которой растет с увеличением содержания гидрида ванадия в исходной шихте. Соответственно доля фазы TiN уменьшается. При горении состава $\text{Ti}_{0,1}(\text{VH}_y)_{0,9}$ в азоте образуется однофазный нитрид с ГЦК-структурой, параметр которой ($a = 4,123 \text{ \AA}$) ближе по значению к соответствующему для VN ($a = 4,09 \text{ \AA}$).

На рис. 2 представлена зависимость параметров решетки продуктов горения шихты состава $x\text{Ti} + (1 - x)\text{VH}_y$ в азоте при $P_{\text{N}_2} = 10 \text{ atm}$ от соотношения исходных компонентов для синтезированных однофазных

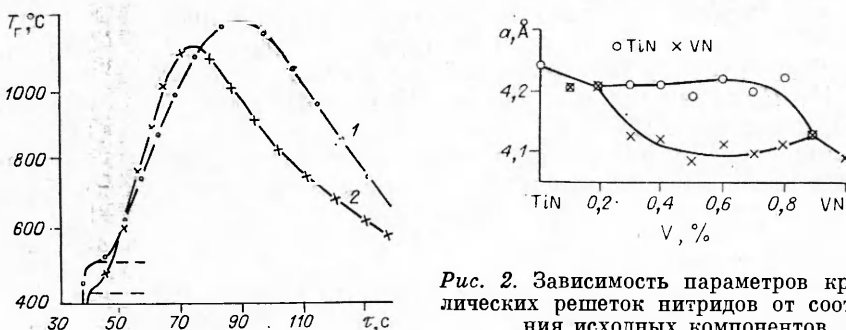


Рис. 2. Зависимость параметров кристаллических решеток нитридов от соотношения исходных компонентов.

Рис. 1. Температурные профили горения шихты составов $\text{Ti}_{0,3}(\text{VH}_y)_{0,7}$ (1) и $\text{Ti}_{0,2}(\text{VH}_y)_{0,8}$ (2) при $P_{\text{N}_2} = 10 \text{ atm}$ (штриховыми линиями показана область разложения VH_y).

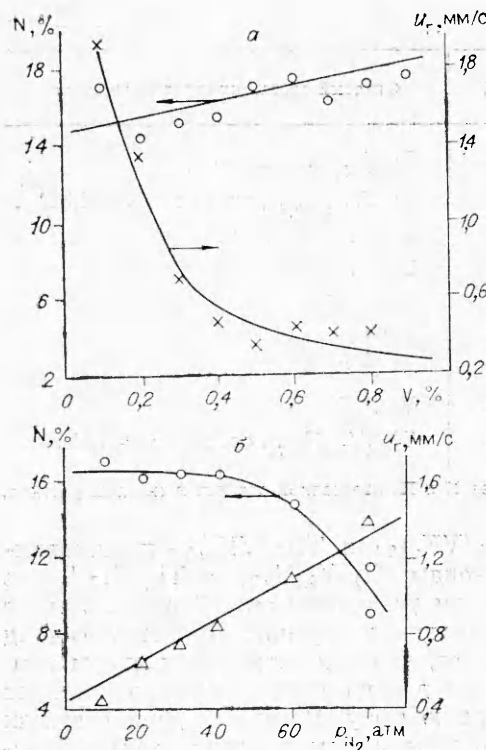


Рис. 3. Зависимость скорости горения и содержания азота в конечном продукте от состава исходной шихты (а) и от давления азота при горении $Ti_{0.4}(VH_y)_{0.6}$ (б).

и двухфазных нитридов, которая демонстрирует растворимость двух нитридов в режиме горения. На рис. 3, а представлены зависимости скорости горения U_r и содержания азота в конечных продуктах от состава шихты. С увеличением доли VH_y величина U_r понижается, а содержание N увеличивается. Это естественно, поскольку VH_y , разлагаясь во фронте горения, в начальный момент смягчает условия нитрирования (понижает T_g и U_r), следовательно, устраняет диффузационные затруднения, связанные с плавлением исходных металлов во фронте горения. Приведенные в табл. 1 продукты почти не взаимодействуют с водородом в режиме горения. В составах, богатых фазой VN_x , частично разлагается

нитрид ванадия, вследствие чего концентрация N понижается на 1—2 %.

В другой серии экспериментов, проведенных при $p_{N_2} = 70 \div 80$ атм, показано, что аналогично системе $Me + N$ [2] p_{N_2} существенно влияет на формирование конечных продуктов горения. Визуальный осмотр последних показал, что они частично оплавлены, притом плавление в большей мере наблюдается в составах, богатых титаном. Из химического анализа конечных продуктов следует, что содержание связанного азота значительно ниже, чем в образцах, сгоревших при $p_{N_2} = 10$ атм.

При горении первых двух составов (табл. 2) образуются в основном однофазные взаимно твердые растворы азота в титане и ванадии с небольшим количеством фазы нитрида титана. При последующем сжигании образцов в атмосфере водорода получены однофазные сложные гидридонитриды на основе Ti и V с ГПУ-структурой. При этом массовое содержание H достигает 2—2,5 %, а концентрация N по сравнению с исходной значительно понижается. Необходимо отметить, что при горении в атмосфере водорода нитридная фаза уменьшается вплоть до следов. Содержание H в сложных гидридонитридах — $Ti_{0.9}V_{0.1}N_{0.26}H_{1.19}$ и $Ti_{0.8}V_{0.2}N_{0.21}H_{1.35}$ с ГПУ-решеткой выше, чем в гидридонитридах титана [4]. По-видимому, присутствие V улучшает абсорбционные свойства образованных ГПУ-фаз.

Установлено, что горение в водороде сложных твердых растворов сильно зависит от содержания N в исходных образцах. Более бедные

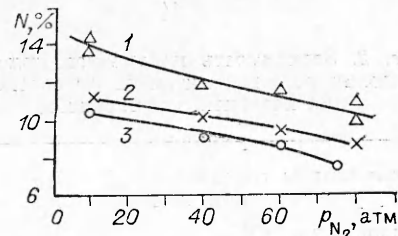


Рис. 4. Зависимость содержания N в конечных продуктах от p_{N_2} при горении составов $Ti_{0.8}(VH_{0.7})_{0.2}$ (1), $Ti_{0.8}(VH_{0.5})_{0.2}$ (2), $Ti_{0.8}V_{0.2}$ (3).

азотом твердые растворы при взаимодействии с водородом наряду со сложным гидрилонитридом образуют фазу TiH_2 [4]. Богатые азотом твердые растворы слабо реагируют с водородом. Содержание N в твердых растворах можно регулировать либо путем изменения p_{N_2} , либо варированием концентрации N в гидриде ванадия, содержащемся в исходной шихте (см. рис. 3, б и 4).

Негривиальные результаты получены при горении $Ti_{0,7}(VH_y)_{0,3}$ и $Ti_{0,6}(VH_y)_{0,4}$ при $p_{N_2} = 80$ атм и дальнейшем воспламенении их в атмосфере водорода (сл. табл. 2). Нервоначально при горении в азоте образуется в основном фаза TiN_x с ГЦК структурой. Кроме того, обнаружены в небольших количествах твердые растворы азота в титане с ГПУ-структурой и следы VN_x . После горения этого продукта в водороде образуются сложные гидрилонитриды с ГЦК-структурой и следы твердого раствора N в Ti, а фаза VN_x исчезает. Необходимо добавить, что при горении Ti в смеси N + H и в водороде предварительно полученных твердых растворов азота в титане образование ГЦК-гидрида нитрида не наблюдалось.

Горение смесей, богатых VH_y в азоте, начиная с $Ti_{0,5}(VH_y)_{0,5}$, приводит к повышению в конечных продуктах горения доли фазы VN_x и к увеличению содержания N. При взаимодействии этих продуктов с H в режиме горения происходит незначительное исполнение H в пределах 0,15–0,4 %, ε содержание N в продуктах горения понижается на 2–3 %.

Исследование процесса горения тех же составов в смеси газов N + H показало, что наибольший интерес представляют первые четыре состава, богатые Ti. По аналогии с горением T_i [3] или Zr [4] в смеси N + H и здесь можно выделить три основные тенденции возможных реакций в зависимости от соотношения парциальных давлений: 1) $p_{N_2} \gg p_{H_2}$, реакцию горения ведет

Таблица 2

Состав исходной шихты	$p_{N_2}=70\text{--}80$ атм		Фазовый состав продуктов горения	$p_{H_2}=20$ атм		Фазовый состав продукта горения
	N, %	H, %		N, %	H, %	
$Ti_{0,9}(VH)_{0,1}$	7,98	0,37	$Ti_{0,9}V_{0,1}N_{0,3}$ (ГПУ), TiN (ГЦК)	6,88	2,24	$Ti_{0,9}V_{0,1}N_{0,26}H_{1,19}$ (ГПУ), сл. TiN
$Ti_{0,8}(VH)_{0,2}$	9,24	0,40	$Ti_{0,8}V_{0,2}N_{0,35}$ (ГПУ), TiN (ГЦК)	5,62	2,55	$Ti_{0,8}V_{0,2}N_{0,21}H_{1,35}$ (ГПУ), сл. TiN *
$Ti_{0,7}(VH)_{0,3}$	8,57	0,22	$Ti_{0,7}V_{0,3}N_{0,33}$ (ГЦК), TiN^* , сл. VN	5,02	1,51	$Ti_{0,7}V_{0,3}N_{0,2}H_{0,8}$ (ГЦК), сл. TiN *
$Ti_{0,6}(VH)_{0,4}$	9,00	0,47	$Ti_{0,6}V_{0,4}N_{0,35}$ (ГЦК), TiN^* , сл. VN	6,65	1,03	$Ti_{0,6}V_{0,4}N_{0,25}H_{0,55}$ (ГЦК), сл. TiN *
$Ti_{0,5}(VH)_{0,5}$	12,95	0,30	TiN , VN , сл. TiN *	10,4	0,36	TiN , VN , сл. VN
$Ti_{0,4}(VH)_{0,6}$	11,51	0,31	TiN , VN	10,21	0,35	TiN , VN , сл. VN *
$Ti_{0,3}(VH)_{0,7}$	13,4	0,22	TiN , VN	15,22	0,14	VN , TiN , сл. VN *
$Ti_{0,2}(VH)_{0,8}$	17,1	0,20	TiN , VN	10,17	0,45	VN , сл. TiN
$Ti_{0,1}(VH)_{0,9}$	15,0	0,15	VN , TiN			

* Твердый раствор.

азот, образуются нитриды с ГЦК-структурой; 2), $p_{N_2} \ll p_{H_2}$, реакцию горения ведет водород, образуя гидриды, а составы, богатые гидридом ванадия, вообще не реагируют; 3) $1 \leq p_{N_2}/p_{H_2} \leq 2$, создаются условия для прохождения одновременно нескольких реакций, характерных для этой системы. В последнем случае составы, богатые Ti, образуют в основном нитриды и гидридонитриды с ГПУ- и ГЦК-структурами, однако содержание H в них не превышает 0,5—1 %.

Исходя из экспериментальных данных, можно заключить, что при горении смеси титана и гидрида ванадия в атмосфере азота при $p_{N_2} = 10$ атм в основном образуются ГЦК-нитридные фазы: однофазные — в образцах, богатых титаном либо ванадием, и двухфазные TiN + VN в промежуточных составах. Эти же составы при $p_{N_2} = 70 \div 80$ атм образуют: а) однофазные твердые растворы азота в титане и ванадии (при ~80 % Ti), которые, взаимодействуя с водородом, превращаются в сложные однофазные гидридонитриды титана и ванадия с ГПУ-структурой, богатые водородом (со следами TiN); б) сложные ненасыщенные нитриды (в $Ti_{0,7}(VH_y)_{0,3}$, $Ti_{0,6}(VH_y)_{0,4}$), которые при воспламенении в водороде образуют ГЦК-гидридонитриды (со следами $TiN_{tb.p.}$).

Анализ результатов настоящих исследований показал, что введение V в шихту приводит к повышению абсорбционных свойств ГПУ-фазы твердого раствора азота в титане, а также к формированию ГЦК гидридонитридной фазы. Кроме того, наличие V расширяет область гомогенности ГЦК нитридной фазы.

ЛИТЕРАТУРА

1. Долуханян С. К., Алексанян А. Г., Сейранян Г. Б. и др. Докл. АН СССР, 1984, 276, 1, 136.
2. Горение пористых образцов металлов в газообразном азоте и синтез нитридов. Отчет ОИХФ АН СССР, Черноголовка, 1971.
3. Долуханян С.К., Налбандян А. Б., Сейранян Г. Б. и др. А. с. 1057411. Бюл. № 44, 1983.
4. Долуханян С. К., Алексанян А. Г., Налбандян А. Б. и др. ФГВ, 1985, 21, 3, 73.

г. Ереван

Поступила в редакцию 17/VIII 1989,
после доработки — 1/II 1990

УДК 541.122 : 546 : 547

Н. И. АГАДЖАНЯН, С. К. ДОЛУХАНЯН

ИССЛЕДОВАНИЕ ПРОЦЕССА ГОРЕНИЯ В СИСТЕМЕ Zr + Nb + N + H. СИНТЕЗ СЛОЖНЫХ ГИДРИДОНИТРИДОВ

Исследования горения в многокомпонентных системах, например в $Zr + Nb + N + H$, представляют большой научный и практический интерес: во-первых, это горение системы с параллельно протекающими химическими реакциями, которыми можно управлять, зная закономерности горения; во-вторых, это синтетическая задача, приводящая к получению сложных тройных и четверных соединений. В работе [1] изучено горение системы $Zr + C + H$, где показано, что в зависимости от состава исходной шихты и параметров процесса может быть реализовано множество путей протекания химических реакций с образованием тех или иных продуктов. В [2] при изучении горения циркония в смеси N + H